

антикодоном (см. гл. 9). Следует подчеркнуть, что в функционировании нуклеиновых кислот кинетические факторы играют, вероятно, более важную роль, чем термодинамические.

#### § 8.4. ТЕРМОДИНАМИКА ПЕРЕХОДОВ СПИРАЛЬ — КЛУБОК

Денатурация нуклеиновых кислот сводится к разрушению двойной спирали. По-видимому, в клетке только tРНК обладают фиксированной третичной структурой.

Нагревание раствора нативной ДНК при некоторых значениях рН и ионной силы вызывает разделение двойной спирали на две цепи, сворачивающиеся в статистические клубки. При этом значительно уменьшаются вязкость и оптическая активность, исчезает гипохромизм, т. е. возрастает интенсивность полосы поглощения в области 2600 Å (см. стр. 498) [75]. Разделение на две цепи непосредственно доказывается центрифугированием ДНК, содержащей N<sup>15</sup>, в градиенте плотности CsCl (см. стр. 153). Клетки *E. coli*, выращенные в среде, содержащей N<sup>15</sup>, переносились в среду с обычным N<sup>14</sup>. При делении клеток образовывались редуплицированные двойные спирали, в которых одна цепь содержала N<sup>15</sup>, другая — N<sup>14</sup>. До денатурации наблюдался один пик плотности 1,717 г/см<sup>3</sup>, отвечающий двойным спиралям N<sup>15</sup>—N<sup>14</sup>. После денатурации появляются два пика, а именно: 1,740 и 1,724 г/см<sup>3</sup>, отвечающие однонитевым клубкам соответственно с N<sup>15</sup> и N<sup>14</sup>. Плотность повышается, так как клубки более компактны, чем спираль [76]. Прямые определения молекулярного веса ДНК показывают, что при денатурации он уменьшается вдвое [75, 77]. Образование клубков при денатурации непосредственно наблюдается в электронном микроскопе (рис. 8.15).

Как и в случае полиаминокислот (см. § 4.5), переход спираль — клубок может рассматриваться как плавление спирали. Простейшая модель для изучения этих процессов — синтетический гомополинуклеотид, содержащий комплементарные пары только одного сорта, например Поли-А — Поли-У. Такая двойная спираль плавится при 65 °C в 0,15 M растворе NaCl при pH 7,0. Интенсивность полосы поглощения при 2600 Å увеличивается на 34%, а удельное вращение [α]<sub>D</sub> убывает на 275°.

Как и следует ожидать, температура плавления ДНК возрастает с увеличением относительного содержания Г — Ц — эти нуклеотиды связаны сильнее, чем А — Т (см. § 8.3). Зависимость  $T_{\text{пл}}$  от содержания Г — Ц линейна [78]. Экстраполяция этой прямой дает предельные значения  $T_{\text{пл}} = 69^{\circ}\text{C}$  для Поли-АТ и  $110^{\circ}\text{C}$  для Поли-ГЦ, хорошо согласующиеся с экспериментальными значениями для соответствующих синтетических полинуклеотидов (65 и  $104^{\circ}\text{C}$ ). Температура плавления ДНК растет

с увеличением ионной силы раствора приблизительно пропорционально логарифму концентрации катионов.

Теория плавления простейших моделей — гомополинуклеотидов развита в ряде работ [79—82] (см. также монографии [6, 83, 84]).

В области перехода молекула состоит из чередующихся спиральных и неупорядоченных участков. Если обозначить число разорванных пар через  $N_1$ , число связанных пар через  $N_2$  и

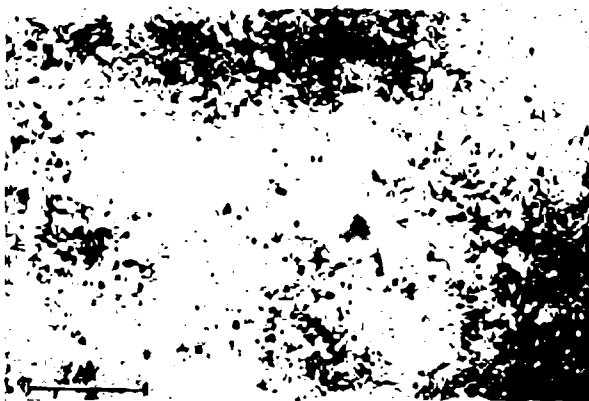


Рис. 8.15. Электронная микрофотография денатурированной ДНК.

число спиральных участков (равное числу неупорядоченных участков) через  $n$ , то свободная энергия системы запишется в виде

$$F(N_1, N_2, n) = N_1 F_1 + N_2 F_2 + n F_s - TS_0, \quad (8.4)$$

где  $F_1$  и  $F_2$  — свободные энергии полностью разделенных и полностью спиральных молекул, отнесенные к одной паре оснований,  $F_s$  — энергия, необходимая для возникновения расплавленной области между двумя спиральными. Образование расплавленного участка, содержащего  $m$  пар, происходит в результате разрыва  $m$  поперечных и  $m + 1$  продольных связей. Наконец,  $S_0$  есть энтропия смешения спиральных и неспиральных участков

$$S_0 = R \ln \frac{N_1!}{n! (N_1 - n)!} \frac{N_2!}{n! (N_2 - n)!}; \quad (8.5)$$

$F$  имеет минимум при некотором значении  $n$ , удовлетворяющем условию

$$[N_1/n - 1][N_2/n - 1] = 1/\sigma, \quad (8.6)$$

где  $\sigma = \exp(-F_s/RT)$  — фактор кооперативности (ср. стр. 210).

Равновесные значения  $N_1$ ,  $N_2$  и  $n$  определяются условием, полученным путем минимизирования  $F$  при постоянном значении  $N_1 + N_2 = N$

$$\frac{1 - n/N_2}{1 - n/N_1} = s \equiv \exp \frac{F_1 - F_2}{RT}. \quad (8,7)$$

Кривая плавления, т. е. зависимость доли неупорядоченных пар  $1 - \theta = N_1/N$  ( $\theta$  — степень спиральности) от  $T$ , идет тем круче, чем меньше  $\sigma$ . При  $\sigma = 1$  кооперативность отсутствует, при  $\sigma = 0$  кооперативность полная. Температурный интервал перехода спираль — клубок  $\Delta T$  (рис. 8.16) определяется условием

$$\Delta T = \frac{1}{|d\theta/dT|_{\max}}, \quad (8,8)$$

и расчет, основанный на модели Изинга (ср. стр. 209), дает

$$\Delta T = 4\sigma^{1/2} \frac{RT_{\text{пл}}^2}{\Delta H}, \quad (8,9)$$

где  $\Delta H$  — разность энталпий спиральной и неспиральной молекулы в расчете на пару оснований. Более строгая теория должна учесть то обстоятельство, что неупорядоченный участок образует замкнутую петлю, которая может быть и асимметричной [81, 82]. Уточненный расчет дает

$$\Delta T = \frac{16\pi^{1/3}}{3} (2\sigma)^{2/3} \frac{RT_{\text{пл}}^2}{\Delta H}. \quad (8,10)$$

Из экспериментальных значений  $\Delta T$  для синтетических гомополинуклеотидов находят  $\sigma \sim 10^{-4}—10^{-5}$ , т. е.  $F_s \approx 7 \text{ ккал/моль}$ . Как мы видим, степень кооперативности весьма высока.

Подробный анализ ситуации для гетерополимеров, проведенный Лазуркиным, Франк-Каменецким и их сотрудниками, не только позволил построить теорию, применимую к ДНК и ее комплексам с малыми молекулами, но и привел к созданию метода исследования структуры нукleinовых кислот [85].

Рассмотрение гетерогенности требует учета двух факторов — добавочного укрепления или ослабления двойной спирали лигандами и различной стабильности пар А — Т и Г — Ц. Эти факторы должны трактоваться по-разному — лиганды перераспределяются по цепи в процессе плавления, а первичная структура остается неизменной.

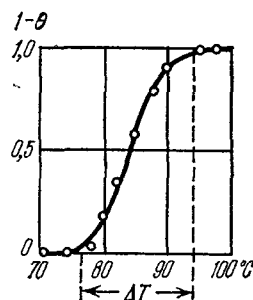


Рис. 8.16. Переход спираль — клубок в ДНК — изменение степени спиральности  $\theta$  с повышением температуры.

Влияние обратимого связывания лигандов на плавление гомополимеров рассмотрено в работах [82, 85, 86]. Допустим, что  $m_1$  молекул лиганда связано неспиральными и  $m_2$  — спиральными участками полимера. Вместо (8,4) имеем

$$F(N_1, N_2, n, m_1, m_2) = N_1 F_1 + N_2 F_2 + n F_s + m_1 \psi_1 + \\ + m_2 \psi_2 - TS_0 - RT \ln \frac{N_1!}{m_1! (N_1 - m_1)!} \frac{N_2!}{m_2! (N_2 - m_2)!}, \quad (8,11)$$

где  $\psi_1$  и  $\psi_2$  — свободные энергии лиганда на участках 1 и 2. Уравнение (8,11) отвечает случаю невзаимодействующих лигандов. Условие минимума  $\partial F / \partial n = 0$  совпадает с (8,6), т. е. средняя длина спиральных участков при данном  $\theta$  не зависит от присутствия лигандов. С другой стороны, из условия  $\partial F / \partial N_1 = 0$  вместо (8,7) получается

$$\frac{1 - n/N_2}{1 - n/N_1} = s^* \equiv s \frac{1 - c_1}{1 - c_2}, \quad (8,12)$$

где  $c_1 = m_1/N_1$ ,  $c_2 = m_2/N_2$ . Эти концентрации лигандов выражаются через концентрацию лиганда в растворе  $c_0$  и константы связывания  $K_1$  и  $K_2$  следующим образом:

$$K_1 = \frac{c_1}{c_0(1 - c_1)}, \quad K_2 = \frac{c_2}{c_0(1 - c_2)}. \quad (8,13)$$

Кривая плавления гомополимера без лигандов описывается функцией

$$\theta = f(s). \quad (8,14)$$

Можно положить  $\theta = 0,5$  при  $s_{\text{пл}} = 1$ . При наличии лигандов

$$\theta = f(s^*) \quad (8,15)$$

и  $\theta = 0,5$  при  $s^* = 1$ , т. е. при  $s_{\text{пл}} = (1 - c_2)/(1 - c_1)$ . Сдвиг температуры плавления по сравнению с температурой плавления для чистого полимера  $T_0$  определяется как

$$\delta \left( \frac{1}{T_{\text{пл}}} \right) = \frac{1}{T_0} - \frac{1}{T_{\text{пл}}} = \frac{R_0}{\Delta H} \ln \left( \frac{1 - c_1}{1 - c_2} \right). \quad (8,16)$$

Изменение интервала температур плавления

$$\delta \left( \frac{\Delta T}{T_{\text{пл}}^2} \right) = \frac{\Delta T}{T_{\text{пл}}^2} - \frac{\Delta T}{T_0^2} = - \frac{R}{\Delta H} \left[ \frac{\partial}{\partial \theta} \ln \left( \frac{1 - c_1}{1 - c_2} \right) \right]_{\theta=1/2}. \quad (8,17)$$

Если лиганды находятся в избытке в растворе, то

$$\delta \left( \frac{1}{T_{\text{пл}}} \right) = \frac{R}{\Delta H} \ln \left( \frac{1 + K_2 D}{1 + K_1 D} \right), \quad (8,18)$$

где  $D$  — полная концентрация лигандов в растворе. Величина  $\delta(\Delta T/T_{\text{пл}}^2)$  в этом случае равна нулю. Напротив, при прочном

связывании лигандов полимером во всей области перехода, т. е. при  $K_1 p \gg 1$  или  $K_2 p \gg 1$  ( $p$  — концентрация связывающих фосфатных групп полинуклеотида),

$$\delta T_{\text{пл}} = 2 \left( \frac{p - 1}{p + 1} \right) \frac{RT_0^2}{\Delta H} c, \quad (8,19)$$

$$\delta \Delta T = 4 \left( \frac{p - 1}{p + 1} \right)^2 \frac{RT_0^2}{\Delta H} c, \quad (8,20)$$

где  $p = K_2/K_1$ ,  $c = 2D/p$ . Последние две формулы справедливы для малых  $c$ . Теория описывает и общий случай [85]. Таким образом, при  $p > 1$  лиганды действуют в качестве «скрепок», стабилизирующих двойную спираль.

Опыт подтверждает приведенные выше соотношения. Уравнение (8,18) хорошо описывает влияние pH на кривые плавления. С его помощью при высоких ионных силах и нейтральных pH найдено значение  $\Delta H$ , варьирующее в пределах 10—11 ккал/моль [87]. Уравнения (8,19) и (8,20) согласуются с данными, полученными для комплексов ДНК (из фага T 2) с акридиновыми красителями и актиномицином при низких ионных силах [88, 89]. Изложенная выше теория была с успехом применена также к исследованию комплексов ДНК с рибонуклеазой [85].

Ионы щелочных металлов, а также  $\text{Ag}^+$ ,  $\text{Cu}^+$ , связываются ДНК и стабилизируют ее структуру [90—93]. Ионы  $\text{Ag}^+$  и  $\text{Cu}^+$  могут перераспределиться по молекуле, преимущественно связываясь с парами Г — Ц. Исследования связывания ионов металлов позволили определить  $\Delta H$ , равное  $8,1 \pm 1$  при  $0,01 M$  NaCl и  $11,0 \pm 2$  ккал/моль при  $0,1 M$  той же соли [93]. Эти и другие определения  $\Delta H$ , основанные на изложенной теории, хорошо согласуются с результатами прямых микрокалориметрических измерений, дающих  $\Delta H \approx 9$  ккал/моль [94] (см. также ниже, стр. 517).

Обратимся теперь к плавлению двусpirального гетерополимера. Такое плавление в принципе может происходить с образованием петель или без их образования [85]. Общая теория плавления для моноспирального гетерополимера (скажем, полиаминокислоты) дана в работах [95—97] (см. § 4.5). Теория для двойной спирали исходит из беспорядочного распределения пар А — Т и Г — Ц. Указанная на стр. 507 линейная зависимость  $T_{\text{пл}}$  от содержания пар Г — Ц согласуется с этим предположением.

Особенность гетерополимера состоит в относительно малом числе микросостояний, отвечающих данной энергии. Маловероятно, чтобы два разных распределения клубков и спиралей по цепи с теми же значениями  $N_1$ ,  $N_2$  и  $n$  имели одинаковую

энергию, так как они почти наверняка будут содержать разное число пар Г—Ц в расплавленных участках. Поэтому энтропия смешения не может существенно влиять на плавление гетерополимеров. Вместе с тем должен появиться новый энергетический фактор, определяемый тем, что при уменьшении средней длины расплавленных участков содержание в них более стабильных пар Г—Ц должно уменьшаться. Конкуренция этого фактора и фактора, обусловленного невыгодностью «стыков» спиральных и неспиральных участков, должна приводить к чередованию спиральных и неспиральных участков определенной средней длины при данном значении  $\theta$ .

Приближенное решение задачи о плавлении гетерополимера с беспорядочной последовательностью пар дано в [85]. Разделим молекулу на одинаковые отрезки, каждый из которых содержит  $\lambda$  пар. Если  $\lambda$  достаточно велико, то распределение содержания пар по этим отрезкам будет гауссовым, т. е.

$$P_\lambda(x) = \frac{1}{(2\pi)^{1/2} \sigma_\lambda} \exp\left(-\frac{(x - x_0)^2}{2\sigma_\lambda^2}\right), \quad (8,21)$$

где  $\sigma_\lambda^2 = x_0(1 - x_0)/\lambda$ ;  $x$  — содержание пар Г—Ц.

Общее число пар Г—Ц в расплавленных участках минимально, если все отрезки с концентрацией этих пар, меньшей некоторого предельного значения  $x_\lambda$ , расплавлены и все отрезки с  $x > x_\lambda$  спиральны. Тем самым значение  $x_\lambda$  определяется условием

$$\int_0^{x_\lambda} P_\lambda(x) dx = N_1/N. \quad (8,22)$$

Средняя концентрация Г—Ц в расплавленных участках  $\bar{x}_1$  равна

$$\bar{x}_1 = \int_0^{x_\lambda} x P_\lambda(x) dx / \int_0^{x_\lambda} P_\lambda(x) dx = \frac{N}{N_1} \int_0^{x_\lambda} x P_\lambda(x) dx. \quad (8,23)$$

Так как состав каждого данного отрезка не зависит от состава других, вероятность того, что расплавленная область состоит из  $k$  отрезков, следующих друг за другом, равна

$$(1 - N_1/N) (N_1/N)^{k-1} \quad (8,24)$$

и среднее число отрезков в расплавленной области

$$\bar{k} = \frac{1}{1 - N_1/N}. \quad (8,25)$$

Среднее число пар оснований в этой области

$$\bar{m}_1 = \lambda \bar{k}. \quad (8,26)$$

Число расплавленных участков во всей молекуле

$$n = \frac{N_1}{\lambda k} = N_1 \frac{1 - N_1/N}{\lambda}. \quad (8,27)$$

Свободная энергия полимера равна

$$\begin{aligned} F(N_1, N_2, n) = & N_1 [\bar{x}_1 F_1^{\text{ГЦ}} + (1 - \bar{x}_1) F_1^{\text{АТ}}] + \\ & + N_2 [\bar{x}_2 F_2^{\text{ГЦ}} + (1 - \bar{x}_2) F_2^{\text{АТ}}] + nF_s. \end{aligned} \quad (8,28)$$

Вводя условия  $N_1 + N_2 = N$ ,  $\bar{x}_1 N_1 + \bar{x}_2 N_2 = x_0 N$ , обозначая  $\Delta F_{\text{ГЦ}} = F_1^{\text{ГЦ}} - F_2^{\text{ГЦ}}$ ,  $\Delta F_{\text{АТ}} = F_1^{\text{АТ}} - F_2^{\text{АТ}}$  и переходя от переменной  $n$  к переменной  $\lambda$ , получаем в пренебрежении постоянными членами

$$F(N_1, \lambda) = N_1 \bar{x}_1 \Delta F_{\text{ГЦ}} + N_1 (1 - \bar{x}_1) \Delta F_{\text{АТ}} + \frac{N_1}{\lambda} \left(1 - \frac{N_1}{N}\right) F_s. \quad (8,29)$$

$\bar{x}_1$  и  $x_0$  определены (8,23) и (8,22). Равновесные значения  $N_1$  и  $\lambda$  находят из соответствующих условий минимума  $F$ . Анализ выражения для  $F$  в области перехода, т. е. вблизи  $N_1/N = 1/2$ , производится путем разложения в ряд по переменной  $\epsilon \equiv N_1/N - 1/2$ . Пользуясь уравнением (8,29) и вновь отбрасывая постоянные члены, получаем

$$\begin{aligned} F(N_1, \lambda) = & N \left\{ \epsilon \Delta F - \frac{1}{(2\pi)^{1/2}} \left[ \frac{x_0(1-x_0)}{\lambda} \right]^{1/2} (\Delta F_{\text{ГЦ}} - \Delta F_{\text{АТ}})(1-\pi\epsilon^2) + \right. \\ & \left. + \frac{F_s}{4\lambda} (1-4\epsilon^2) \right\}, \end{aligned} \quad (8,30)$$

где

$$\Delta F = x_0 \Delta F_{\text{ГЦ}} + (1 - x_0) \Delta F_{\text{АТ}}. \quad (8,31)$$

Из условия  $\partial F / \partial \lambda = 0$  (при  $\epsilon = 0$ ) находим

$$\lambda_0 = \frac{\pi}{2} \left( \frac{F_s}{\Delta F_{\text{ГЦ}} - \Delta F_{\text{АТ}}} \right)^2 \frac{1}{x_0(1-x_0)}. \quad (8,32)$$

Поскольку

$$\Delta F_{\text{ГЦ}} - \Delta F_{\text{АТ}} = (T_{\text{ГЦ}} - T_{\text{АТ}}) \Delta H_{\text{АТ}} / T_{\text{АТ}}, \quad (8,33)$$

где  $T_{\text{ГЦ}}$  и  $T_{\text{АТ}}$  — температуры плавления для соответствующих полимеров, имеем

$$\bar{m}_1 = \pi \left[ \frac{T_{\text{АТ}}}{\Delta H_{\text{АТ}}} \frac{F_s}{(T_{\text{ГЦ}} - T_{\text{АТ}})} \right]^2 \frac{1}{x_0(1-x_0)}. \quad (8,34)$$

Приравняв нулю производную свободной энергии по  $\theta$  при постоянном  $\lambda$  и продифференцировав полученное выражение по  $T$ , находим

$$\Delta T = 2 \frac{\pi - 2}{\pi} \frac{\Delta H_{AT}}{T_{AT}} \frac{(T_{Gc} - T_{AT})^2}{F_s} x_0 (1 - x_0). \quad (8.35)$$

Строгое решение задачи отличается от приведенного лишь численными множителями [98]. Образование петель при плавлении учитывается добавочным членом в  $F$ , отвечающим энтропии петель [85].

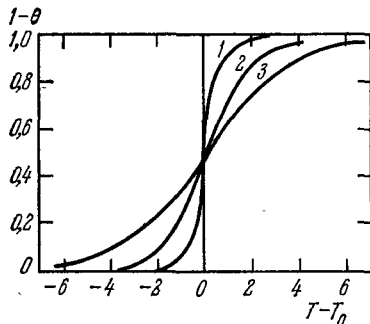


Рис. 8.17. Зависимость  $\theta$  полигетеронуклеотида от  $T$ .

1 —  $x_0 = 0$ ,  $T_{пл} = 340$  °К,  $N = 2 \cdot 10^4$ ;  
2 —  $x_0 = 0, 1$ ,  $T_{пл} = 344$  °К,  $N = 4 \cdot 10^4$ ;  
3 —  $x_0 = 0, 5$ ,  $T_{пл} = 360$  °К,  $N = 6 \cdot 10^4$ .

$= 340$  °К,  $T_{Gc} = 380$  °К,  $\Delta H_{AT} = 7$  ккал/моль,  $\sigma = 5 \cdot 10^{-5}$ ,  $N = 2 \cdot 10^4 - 10^6$ . Линейная зависимость  $T_{пл}$  от  $x_0$  получается непосредственно

$$T_{пл} = T_{AT} + (T_{Gc} - T_{AT}) x_0. \quad (8.36)$$

Эти расчеты проведены без учета образования петель. Такой учет приводит к некоторому уменьшению  $\Delta T$  [85, 100].

Форма теоретической кривой плавления согласуется с опытом практически независимо от модели. Напротив, теоретический график для  $\Delta T$  существенно зависит от принятой модели и от выбранных значений параметров. Все они, кроме  $\sigma$ , находятся из независимых экспериментов. Прекрасное согласие с опытом для ряда типов ДНК получено при  $\sigma = 5 \cdot 10^{-5}$  [85]. Тем самым, опыт позволяет найти  $\sigma$ .

Определения оптической плотности (и, следовательно, степени спиральности  $\theta$ ) и размеров молекулы ДНК в растворе путем измерения характеристической вязкости в процессе термической денатурации позволили найти средние длины спиральных участков независимым путем [101]. В согласии с теорией в области  $\theta = 0,8 - 0,9$  длины спиральных отрезков варьируют

Численные расчеты на ЭВМ с использованием в качестве независимых параметров доли пар Г — Ц  $x_0$ , температуры плавления гомополимеров  $T_{AT}$  и  $T_{Gc}$ , а также  $\Delta H_{AT}$  и  $\sigma$ , позволили определить кривые плавления, зависимость средней длины спирального участка от степени спиральности  $\theta$  и зависимость ширины интервала перехода от  $x_0$  при различных значениях указанных параметров [85, 95, 99]. На рис. 8.17—8.19 показаны кривые, полученные при  $T_{AT} =$

$= 340$  °К,  $T_{Gc} = 380$  °К,  $\Delta H_{AT} = 7$  ккал/моль,  $\sigma = 5 \cdot 10^{-5}$ ,  $N =$

$= 2 \cdot 10^4 - 10^6$ . Линейная зависимость  $T_{пл}$  от  $x_0$  получается непосредственно

от 1000 до 2500 пар, тогда как в области перехода, т. е. при  $\theta = 0,5$   $\bar{m} = 400$ –500 пар.

$T_{\text{пл}}$  понижается и  $\Delta T$  увеличивается с уменьшением длины цепи [102]. Теория этого явления развита в работе [103] и подтверждена экспериментально [104].

Описанные результаты позволяют на основе измерения кривых плавления обнаруживать дефекты вторичной структуры

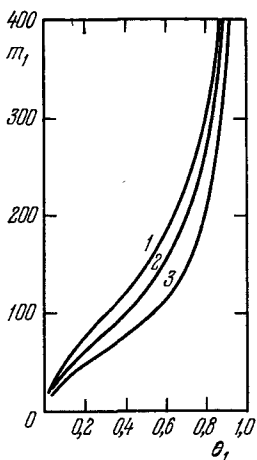


Рис. 8.18. Зависимость среднего числа пар оснований в расплавленных участках от  $\theta_1 = 1 - \theta$ .

Кривые 1–3 отвечают тем же параметрам, что и на рис. 8.17.

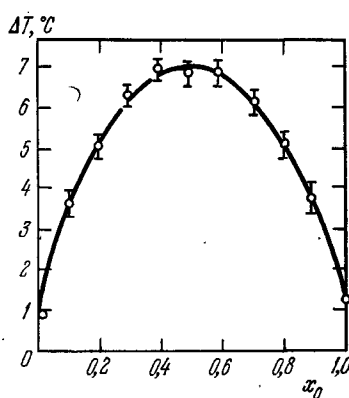


Рис. 8.19. Зависимость интервала температур плавления от концентрации пар Г–Ц.

ДНК и определять их концентрацию. Ультрафиолетовое облучение вызывает расширение кривых  $\theta(T)$  вследствие локальной денатурации [105]. Наличие дефектов доказывается кинетическими опытами [106], число дефектов оценивается путем калибровки термодинамического метода с помощью фрагментированной ДНК [104].

Особенно интересна возможность установить характер распределения нуклеотидов по цепи путем исследования перехода спираль — клубок. Установлено, что ДНК ряда умеренных фагов содержит области, различающиеся по концентрации пар Г–Ц [107]. Это отражается в появлении ступенек на кривой плавления и в распределении фрагментированных молекул ДНК при центрифугировании в градиенте плотности. Такую блочную гетерогенность можно исследовать путем параллельного изучения кривых плавления и зависимости характеристической вязкости от  $T$  в области перехода [107].

Пусть блочная последовательность имеет вид

$$\dots | \quad x_0^{(i)} \quad | \quad x_0^{(i+1)} \quad | \quad x_0^{(i+2)} \quad | \quad \dots ,$$

причем внутри блока пары Г — Ц распределены беспорядочно. Обычно исследуемые фрагменты ДНК, именуемые молекулами, содержат  $n_0 = 1000 - 50\,000$  пар нуклеотидов. В этой области значений  $n_0$  кривые  $\theta(T)$  не зависят от  $n_0$ . Напротив, кривые зависимости характеристической вязкости  $[\eta]$  от  $T$  зависят от  $n_0/n_B$ , где  $n_B$  — средняя длина блока. Если  $n_B \ll n_0$ , то каждая молекула в растворе содержит большое число блоков с различным содержанием пар Г — Ц. Поэтому при плавлении каждая молекула будет распадаться на спиральные и неупорядоченные участки без полного разделения цепей вплоть до последних стадий плавления. Кривые  $[\eta](T)$  смешены к меньшим температурам по сравнению с кривыми  $\theta(T)$ , так как образование малого числа коротких расплавленных участков, расположенных далеко друг от друга, уменьшает размер молекулы. Это происходит вследствие малости размеров неупорядоченных участков и сближения спиральных участков, а также потому, что возникают добавочные резкие изломы, уменьшающие размер статистического сегмента.

Если  $n_B \gg n_0$ , то молекулы существенно отличаются содержанием пар Г — Ц.  $\Delta T$  для каждого сорта молекул меньше, чем общая  $\Delta T$  для их смеси. В области плавления большая часть молекул будет либо полностью спиральной, либо полностью расплавленной. Следовательно,

$$[\eta] = [\eta]_1 \theta_1 + [\eta]_2 (1 - \theta_1), \quad (8.37)$$

где  $\theta_1 = 1 - \theta$  — степень неупорядоченности, и если молекулы либо полностью спиральны, либо полностью расплавлены, то

$$\theta_1 = g = \frac{[\eta]_2 - [\eta]}{[\eta]_2 - [\eta]_1}. \quad (8.38)$$

На рис. 8.20 показаны зависимости  $g(T)$  и  $\theta_1(T)$  для разных видов ДНК, а на рис. 8.21 — зависимость  $g(\theta_1)$  [85, 101]. Кривые для высших организмов близки к следующей из уравнения (8.38); для *E. coli* и фага Т 2 это не так. Следовательно, ДНК высших организмов свойственна блочная гетерогенность. Эти результаты позволяют оценить нижний предел размеров блока из условия  $n_B \gg n_0$ . Молекулярные веса ДНК высших организмов равнялись по порядку величины  $10^9$ , средний вес блока несомненно превышал  $10^7$ .

Таким образом, внимательное изучение кривых плавления ДНК дает ценные сведения о ее структуре. Надо думать, что этот метод окажется полезным и для изучения РНК.

Лифшиц провел детальное теоретическое рассмотрение зависимости формы кривой плавления ДНК от последовательности пар А — Т и Г — Ц [108]. Показано, что в идеале исследование кривой плавления ДНК может дать ценную информацию об ее

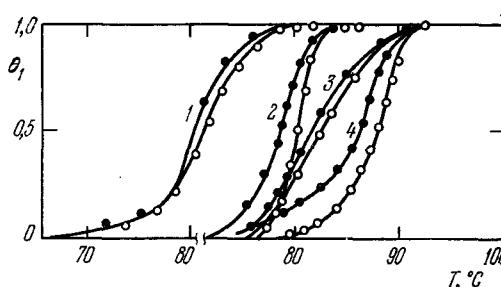


Рис. 8.20. Зависимость относительных изменений  $[\eta]$  (зачерненные кружки) и оптической плотности (светлые кружки) от  $T$ .

1—ДНК из спермы сельди, 2—из фага T2, 3—из тимуса теленка, 4—из *E. coli*.

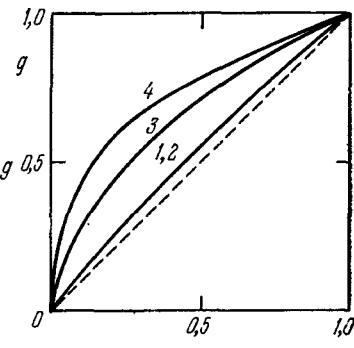


Рис. 8.21. Зависимость  $g$  от  $\theta_1$  — доли расплавленных пар оснований.

1—ДНК из спермы сельди, 2—из тимуса теленка, 3—из *E. coli*, 4—из фага T2.

первичной структуре. Однако современная экспериментальная точность для этого недостаточна.

Термодинамические характеристики денатурации ДНК были определены методом микрокалориметрии в работах Привалова [94, 109, 110]. Темпера́тура денатурации сильно зависит от рН. При возрастании рН от 7,0 до 9,7 величина  $T_{\text{пл}}$  убывает от 84,8 до 66,3 °С,  $\Delta H$  — от 9650 до 7140 кал/моль,  $\Delta S$  — от 27 до 21 э. е. При убывании рН от 5,4 до 3,2  $T_{\text{пл}}$  убывает от 84 до 55 °С,  $\Delta H$  — от 9400 до 4000 кал/моль,  $\Delta S$  — от 25,6 до 12,4 э. е. Значение  $T_{\text{пл}}$  сильно меняется с ионной силой,  $\Delta H$  мало зависит от ионной силы и, следовательно, от температуры. Разность свободных энергий денатурированной и нативной ДНК при 37 °С убывает от 1250 до 620 кал/моль при возрастании рН от 7,0 до 9,7 и от 1240 до 220 кал/моль при убывании рН с 5,4 до 3,2. При рН 7,0  $\Delta F$  убывает от 1250 до 710 кал/моль при возрастании рNa от 0,84 до 2,04. Свободная энергия стабилизации нативной структуры ДНК линейно зависит от активности NaCl. Логарифмическая зависимость  $\Delta F$  от ионной силы при постоянном рН

показывает, что механизм стабилизации спирали одновалентными ионами имеет энтропийный характер. По-видимому, число связанных макромолекулой противоионов определяется линейной плотностью зарядов на цепи и не зависит от концентрации противоионов в растворе. При денатурации плотность зарядов на

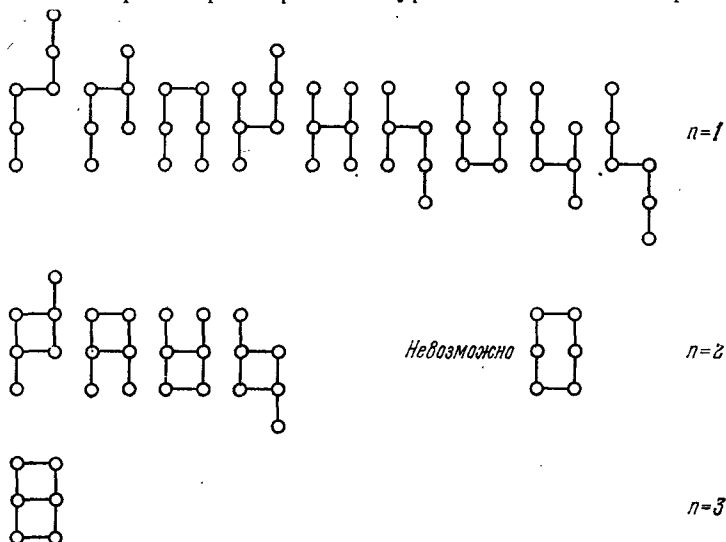


Рис. 8.22. Модели спаривания тринуклеотидов.

цепи понижается, противоионы уходят в раствор и изменяется энтропия.

Детальное исследование термодинамики переходов спираль — клубок проведено на простейших моделях — на олигорибоадениловых кислотах [111, 112]. При низких рН олигоаденины образуют двойные спирали, начиная с тетрануклеотида. Возможные модели спаривания тринуклеотидов, предложенные в работе [111], показаны на рис. 8.22. Вообще говоря, число разных двойных спиралей с  $n$  связанными парами при данной степени полимеризации  $N$  равно  $(N - n + 1)^2$ . Переходы изучались по гипохромному эффекту при  $2650 \text{ \AA}$  для  $N$  от 6 до 10. Образование двойной спирали из двух цепей характеризуется двумя константами — константой нуклеации  $\beta$  и константой роста спирали  $s$ . Константа  $s = \exp(-\Delta H/RT + \Delta S/R)$ . Константа равновесия для перехода две цепи  $\rightleftharpoons$  двойная спираль равна

$$K = \beta \sum_{n=1}^N (N - n + 1)^2 s^n = \beta L(s) = \\ = \beta s [N^2 - (2N^2 + 2N - 1)s + \\ + (N + 1)^2 s^2 - s^{N+1} - s^{N+2}] / (1 - s)^3. \quad (8.39)$$

Доля спаренных нуклеотидов составляет [113]

$$\theta = \frac{s \{1 + 4\gamma L - (1 + 8\gamma L)^{1/2}\} L'}{4\gamma NL^2}, \quad (8,40)$$

где  $L' = dL/ds$ ,  $\gamma = \beta c$  ( $c$  — общая молярная концентрация как свободных, так и связанных цепей). При  $s \gg 1$  (большое разбавление)  $L(s) \rightarrow s^N$  и

$$\theta = \frac{1 + 4\gamma s^N - (1 + 8\gamma s^N)^{1/2}}{4\gamma s^N}. \quad (8,41)$$

В средней точке перехода  $\theta = 0,5$  и  $\gamma s^N = 1$ . Острота перехода в этой точке

$$\left(\frac{d\theta}{d \ln s}\right)_{T_{\text{пл}}} = 1/6N. \quad (8,42)$$

Следовательно,

$$\left(\frac{d\theta}{dT}\right)_{T_{\text{пл}}} = \frac{N \Delta H}{6RT_{\text{пл}}^2}, \quad (8,43)$$

т. е.  $\Delta H$  можно определить по наклону кривой  $\theta(T)$  при  $T_{\text{пл}}$ . Значения  $T_{\text{пл}}$  возрастают с увеличением  $c$ . Если  $\theta = \text{const}$ , то  $\gamma s^N = \text{const}$ , если  $\theta = 0,5$ , то  $\gamma s^N = 1$ . Имеем  $(\partial \ln s / \partial \ln \gamma)_{\theta, N} = -1/N$  и

$$\left(\frac{\partial T}{\partial \ln \gamma}\right)_{\theta, N} = -\frac{RT^2}{N \Delta H}. \quad (8,44)$$

Интегрируя это уравнение от  $c$  до  $c'$  при постоянном  $\beta$ , находим

$$\frac{1}{T'} = \frac{1}{T} + \frac{R}{N \Delta H} \ln \frac{c'}{c}. \quad (8,45)$$

Зависимость  $T_{\text{пл}}$  от длины цепи следует из  $(\gamma s^N)_{\text{пл}} = 1$ ; имеем

$$\frac{1}{T_{\text{пл}}} = \frac{1}{T_c} + \frac{R \ln \gamma}{N \Delta H}. \quad (8,46)$$

Тщательные измерения, проведенные в работе [112], дали при  $N = 6, 7, 8, 9$  и  $10$   $\Delta H = 5,85; 6,7; 7,5; 8,1; 8,9$  ккал/моль соответственно. Необходимо, однако, учесть статистическое распределение полимеров по различным значениям  $n$ , наличие вертикальных взаимодействий и в единичных цепях (это дает  $\Delta S_{\text{ст}} \approx \approx 26$  э. е. и  $\Delta H_{\text{ст}} = 6,1; 5,4; 4,4; 4,1; 4,0$  ккал/моль при  $N = 6, 7, 8, 9, 10$ ), а также протонирование цепей. Единичные цепи протонированы при pH 4,2 на 10%, двусpirальные олигомеры — на 80% [113, 114]. При таком изменении протонирования (на 70%)  $\Delta H_{\text{пр}} = 2,2$  ккал/моль. Учет этих поправок при  $\beta = 10^{-3}$  л/моль дает для  $N = 6, 7, 8, 9, 10$  значения  $\Delta H$ , равные соответственно

10,0; 10,2; 10,2; 10,6; 11,4 ккал/моль. Дальнейший анализ показал, однако, что предположение о независимости  $\beta$  от  $T$  не согласуется с опытом. Из эксперимента следует, что от  $T$  не зависит  $\beta s$ . Учет этого обстоятельства дает значение  $\Delta H$ , независимое от  $N$  и равное  $11,8 \pm 0,6$  ккал/моль пар оснований. Величина  $\beta s$  составляет  $3 \cdot 10^4$  л/моль.

Евдокимов и Варшавский исследовали плавление ДНК в легкой и тяжелой воде в широком интервале значений рН — от 2 до 12 [115]. График зависимости  $T_{\text{пл}}$  от рН имеет колоколообразную форму с плато при 80—85°C (ДНК фага T 2) в интервале рН 4,5—8,5 и резкое падение  $T_{\text{пл}}$  при больших и меньших рН (при ионной силе 0,18—0,25). При нейтральных рН температуры плавления ДНК в  $H_2O$  и  $D_2O$  совпадают. Отсюда следует, что водородные связи не определяют стабильность ДНК. В кислой области более устойчива Н-ДНК, а в щелочной — D-ДНК. Различна и зависимость температур плавления Н-ДНК и D-ДНК от ионной силы при низких ее значениях ( $\sim 0,01$ ). Этот эффект можно объяснить различиями в степени гидратации, меньшей в  $D_2O$ . Из экспериментальных данных получены следующие значения  $\Delta H$  и  $\Delta S$ : при 37% пар Г — Ц  $\Delta H = 8,0$ ,  $\Delta S = 23,0$ ; при 40%  $\Delta H = 8,7$ ,  $\Delta S = 25,4$ ; при 48%  $\Delta H = 9,5$  ккал/моль пар оснований,  $\Delta S = 27,4$  э. е. Значения для  $H_2O$  и  $D_2O$  практически совпадают.

В работе [116] калориметрическим и оптическим методами изучена кислотная денатурация ДНК, определяемая протонизацией азотистых оснований. Установлено возникновение некоторой промежуточной конформации ДНК, отличной как от нативной, так и от денатурированной.

Обзор теории переходов спираль — клубок в ДНК дан в работе [117].

### § 8.5. КИНЕТИКА ДЕНАТУРАЦИИ ДНК

Кинетика расплетания двойной спирали ДНК была впервые рассмотрена Куном [118] (см. также [6]). Как показал Кун, если допустить что раскручивание (возникшее после разрыва связей между цепями) происходит в результате вращательного броуновского движения, то этот процесс потребует времени  $\tau$ , гораздо большего, чем наблюдаемое. Так, для ДНК с м. в.  $3 \cdot 10^6$  раскручивание 450 витков спирали, что необходимо для полного разделения, требует 150 дней. Между тем  $\tau$  для ДНК с м. в. порядка  $10^8$  составляет около 1 мин. Кун считал, что раскручивание происходит на концах спирали, но не учитывал свертывания в клубки освободившихся цепей. Если отвлечься от их неизбежного перепутывания, то  $\tau$  для расплетания цепей, свертывающихся в клубки, получится существенно меньшим [6, 119]. Кун